

差分法による周辺弹性支持扇形平板の解析

九州大学大学院 大塚久哲
工学部 安藤司

1. まえがき

扇形平板とそれを弾性的に支持するはりとかうなる複合構造物は、例えば曲線高架橋の上部工や円形ビルディングの床板などに見受けられるが、この種複合構造物においては、板とはりとの間に力およびモーメントが相互に作用し合い、その力学的挙動は複雑な様相を呈するものと考えられる。したがってそれらの構造要素間の影響を無視して別々に解析を行なうことには不合理であり、平板と弹性支持はりとの相互作用を考慮して解析することが、この種構造物の力学的特性を把握するうえには是非必要であるといえる。

周辺が弹性ばりにて支持される矩形板の解析は古くから行なわれてゐる。まず板と弹性支持ばりとの間に垂直力のみが伝達される複合構造物の挙動については、級数を使って Fuchs⁽¹⁾により、差分法を使って Wood⁽²⁾により論じられてゐる。さうに、板とはりとが偏心結合されてゐる場合、両者の間には垂直力のみならず水平剪断力も伝達されることになるが、この水平剪断力をも解析にあたって考慮したものとしては Allen & Serern⁽³⁾(数値解)、および Khan & Kemp⁽⁴⁾(差分解)等の研究があげられる。

しかししながら扇形平板とそれを弾性的に支持する曲りばりおよび直線ばりとかう構成される複合構造物に関する研究はあまり多くないようである。扇形平板は板自身としても矩形板とは異なる特性を有しており、それが周辺を曲りばりおよび直線ばりで支持されるととき、その力学的挙動には興味がある。したがって本論文は、板の隅角部4点が支持され、その2対辺が直線ばり、他の2対辺が曲りばりでそれぞれ弹性支持される扇形平板の解析法を提示し、この種複合構造およびこれを基本構とする構造などの力学的特性を把握することを目的としている。

解析手法としては、代表的近似解法の一つである差分法を採用している。

解析に使われた仮定および電算による数値計算結果の妥当性を吟味する為、ラプラスチック模型による実験をおこなつたので、その結果もあわせて報告する。

2. 解法

(1) 基礎微分方程式および断面力の差分化

図-1に示すように扇形平板が、隅角部4点が支持され、2直線辺が直線ばり、2円弧辺が曲りばりにて弹性支持されてゐるものとする。いま扇形平板の中心Oを原点とする円筒座標(r, θ, z)を導入し、微小変形薄板理論に従えば、 z 軸方向のためみ w を求めるための基礎微分方程式は、板が等方性のとき次式で与えられる。

$$\left(\frac{\partial^2}{\partial r^2} + \frac{1}{r} \frac{\partial}{\partial r} + \frac{1}{r^2} \frac{\partial^2}{\partial \theta^2} \right) \left(\frac{\partial^3 w}{\partial r^2} + \frac{1}{r} \frac{\partial^2 w}{\partial r^2} + \frac{1}{r^2} \frac{\partial^2 w}{\partial \theta^2} \right) = \frac{P(r, \theta)}{D} \dots (1)$$

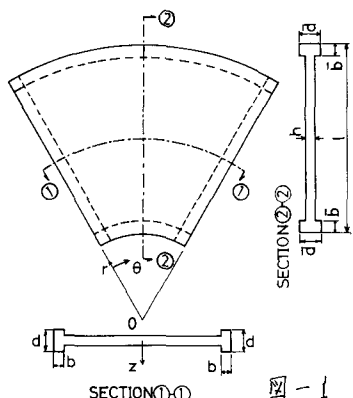


図-1

ここで $P(r, \theta)$: 垂直荷重, $D = E_p h^3 / 12(1-\nu^2)$: 板剛度, E_p : チャンク率, h : 板厚, ν : ポアソン比, また半径方向および接線方向の板の曲げモーメント M_r, M_θ , 半径方向および接線方向の板反力 V_r, V_θ も同様に次式で与えられる。

$$M_r = -D \left[\frac{\partial^3 w}{\partial r^2} + \nu \left(\frac{1}{r} \frac{\partial w}{\partial r} + \frac{1}{r^2} \frac{\partial^2 w}{\partial \theta^2} \right) \right] \quad \dots (2) \quad M_\theta = -D \left[\frac{1}{r} \frac{\partial w}{\partial r} + \frac{1}{r^2} \frac{\partial^2 w}{\partial \theta^2} + \nu \frac{\partial^3 w}{\partial r^2} \right] \quad \dots (3)$$

$$V_r = -D \left[\frac{\partial^3 w}{\partial r^3} - \frac{1}{r^2} \frac{\partial w}{\partial r} + \frac{1}{r} \frac{\partial^2 w}{\partial r^2} - \frac{3-\nu}{r^3} \frac{\partial^2 w}{\partial \theta^2} + \frac{2-\nu}{r^2} \frac{\partial^3 w}{\partial r \partial \theta^2} \right] \quad \dots (4)$$

$$V_\theta = -D \left[\frac{1}{r^3} \frac{\partial^3 w}{\partial \theta^3} + \frac{2}{r^3} (1-\nu) \frac{\partial w}{\partial \theta} + \frac{2-\nu}{r} \frac{\partial^2 w}{\partial r \partial \theta} + \frac{2\nu-1}{r^2} \frac{\partial^3 w}{\partial r^2 \partial \theta} \right] \quad \dots (5)$$

図-2 に示すように扇形平板を放射状格子に分割し、図のような格点番号を付すとき、格点 (i, j) において式(1)～(5)を差分式に変換すれば次に示す(6)～(10)式を得る。

$$\begin{aligned} & a_1 W_{i+2,j} + a_2 (W_{i+1,j-1} + W_{i+1,j+1}) + a_3 W_{i+1,j} + a_4 (W_{i,j-2} + W_{i,j+2}) + a_5 (W_{i,j-1} + W_{i,j+1}) + a_6 W_{i,j} \\ & + a_7 (W_{i-1,j-1} + W_{i-1,j+1}) + a_8 W_{i-1,j} + a_9 W_{i-2,j} = P \lambda^2 / D \quad \dots (6) \\ \text{ここで } & a_1 = 1 + \lambda/r_i, \quad a_2 = 2K^2(1 - \lambda/2r_i)/r_i^2, \quad a_3 = -4(1 + \lambda/2r_i) - (1 - \lambda/2r_i)(\lambda^2 + 4K^2)/r_i^2, \quad a_4 = K^2/r_i^2 \\ & a_5 = -4K^2\{1 - (\lambda^2 - K^2)/r_i^2\}/r_i^2, \quad a_6 = 2\{3 + (\lambda^2 + 4K^2)/r_i^2 - K^2(4\lambda^2 - 3K^2)/r_i^4\}, \\ & a_7 = 2K^2(1 + \lambda/2r_i)/r_i^2, \quad a_8 = -4(1 - \lambda/2r_i) - (1 + \lambda/2r_i)(\lambda^2 + 4K^2)/r_i^2, \quad a_9 = 1 - \lambda/r_i, \quad \lambda = \ell/m, \\ & \omega = \theta_0/n, \quad K = \lambda/\omega, \quad \ell = \text{直線辺長}, \quad m: \text{半径方向分割数}, \quad \theta_0: \text{中心角}, \quad n: \text{接線方向分割数}, \\ & r_i: \text{中心 } O \text{ から格点 } (i, j) \text{ までの距離}。 \end{aligned}$$

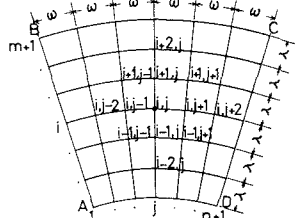


図-2

$$M_{r(i,j)} = b_1 W_{i+1,j} + b_2 (W_{i,j-1} + W_{i,j+1}) + b_3 W_{i,j} + b_4 W_{i-1,j} \quad \dots (7)$$

$$\text{ここで } b_1 = -D(1 + \nu\lambda/2r_i)/\lambda^2, \quad b_2 = -D\nu K^2/\lambda^2 r_i^2, \quad b_3 = 2D(1 + \nu K^2/r_i^2)/\lambda^2, \quad b_4 = -D(1 - \nu\lambda/2r_i)/\lambda^2.$$

$$M_{\theta(i,j)} = \bar{b}_1 W_{i+1,j} + \bar{b}_2 (W_{i,j-1} + W_{i,j+1}) + \bar{b}_3 W_{i,j} + \bar{b}_4 W_{i-1,j} \quad \dots (8)$$

$$\text{ここで } \bar{b}_1 = -D(\nu + \lambda/2r_i)/\lambda^2, \quad \bar{b}_2 = -DK^2/\lambda^2 r_i^2, \quad \bar{b}_3 = 2D(\nu + K^2/r_i^2)/\lambda^2, \quad \bar{b}_4 = -D(\nu - \lambda/2r_i)/\lambda^2.$$

$$\begin{aligned} V_r(i,j) = & c_1 W_{i+2,j} + c_2 (W_{i+1,j-1} + W_{i+1,j+1}) + c_3 W_{i+1,j} + c_4 (W_{i,j-2} + W_{i,j+2}) + c_5 W_{i,j-1} + c_6 W_{i,j+1} \\ & - c_7 W_{i-2,j} - c_8 (W_{i-1,j-1} + W_{i-1,j+1}) \quad \dots (9) \end{aligned}$$

$$\begin{aligned} \text{ここで } & c_1 = -D/2\lambda^3, \quad c_2 = -DK^2(2-\nu)/2\lambda^3 r_i^3, \quad c_3 = D\{1 - \lambda/r_i + \lambda^2/2r_i^2 + (2-\nu)K^2/r_i^2\}/\lambda^3, \\ & c_4 = (3-\nu)DK^2/\lambda^2 r_i^3, \quad c_5 = 2D\{1 - (3-\nu)K^2/r_i^2\}/\lambda^2 r_i, \quad c_6 = -D\{1 + 3/r_i + \lambda^2/2r_i^2 + (2-\nu)K^2/r_i^2\}/\lambda^3. \end{aligned}$$

$$V_\theta(i,j) = \bar{c}_1 (W_{i+1,j-1} - W_{i+1,j+1}) + \bar{c}_2 (W_{i,j-2} - W_{i,j+2}) + \bar{c}_3 (W_{i,j-1} - W_{i,j+1}) + \bar{c}_4 (W_{i-1,j-1} - W_{i-1,j+1}) \quad \dots (10)$$

$$\text{ここで } \bar{c}_1 = DK\{(2\nu-1)\lambda/2r_i + 2-\nu\}/2\lambda^3 r_i, \quad \bar{c}_2 = D/2r_i^3 \omega^3,$$

$$\bar{c}_3 = -DK\{K^2/r_i^2 + (\nu-1)\lambda^2/r_i^2 + 2-\nu\}/2\lambda^3 r_i, \quad \bar{c}_4 = -DK\{(2\nu-1)\lambda/2r_i + \nu-2\}/2\lambda^3 r_i.$$

(2) 境界条件式

図-2に示すように $(m+1) \times (n+1)$ の放射状格子に分割された扇形平板の各格点におけるたわみを求めるために、支持されてる4隅角部の格点を除くすべての格点において式(6)を立てなければならぬが、板端近傍および板端上の格点において(6)式は、板外の仮想格点のたわみ \bar{w} も未知量として含むことになる。したがってこれらを消去するために仮想板外格点の数だけ境界条件式が必要となるが、板とて θ との結合部および隅角部において力およびモーメントの釣合と隅角部における拘束条件を考慮せねば、次に示すように境界条件式が求められる。なお本論文における境界条件式は、図-3、図-4に示すように板とて θ との中立軸が一致するように結合させた構造を考えて誘導している。

a) 直線辺における境界条件式

扇形平板と直線ばかりとの結合部の微小要素に作用する力およびモーメントを図示すれば図-3のように表わせる。いま直線ばかりの幅を無視できる程小さなものと考えて、この微小要素において θ 軸方向の力の釣合式、および θ 軸まわりのモーメントの釣合式を立てれば次の2式を境界条件式として得る。

$$T_\theta - \bar{\theta} - dF/dr = 0 \quad \dots (11), \quad M_\theta + dT/dr = 0 \quad \dots (12)$$

ここに、 T_θ, M_θ ： θ 方向板反力および曲げモーメント(単位長あたり)， $\bar{\theta}$ ：はりに作用する単位長あたり垂直荷重， F, T ：はりのせん断力およびねじりモーメント。

上記の2式を格点 (i, j) において差分式に変換すれば次の(13)および(14)式を得る。

$$d(W_{i+2,j} + W_{i-2,j}) + d_2(W_{i+1,j-1} - W_{i+1,j+1}) + d_3W_{i+1,j} + d_4(W_{i,j-2} - W_{i,j+2}) + d_5(W_{i,j-1} - W_{i,j+1}) + d_6W_{i,j} + d_7(W_{i-1,j-1} - W_{i-1,j+1}) + d_8W_{i,j} = 2\bar{\theta}/D \quad \dots (13)$$

ここに $d_1 = H_r m$, $H_r = E_b I_b / Dm\lambda$, $E_b I_b$ ：直線ばかりの曲げ剛性, $d_2 = K \{1 - \nu^2/2 + (2\nu - 1)\lambda/4K\} / K$, $d_3 = -4d_1$, $d_4 = K^3/2K^3$, $d_5 = 6d_1$, $d_6 = -K \{K^2/\lambda^2 + 2 - \nu + (\nu - 1)\lambda^2/\lambda^2\} / K$, $d_7 = K \{1 - \nu/2 + \alpha - 2\nu\} \lambda / 4K$, $d_8 = 1/K$.

$$e_1(W_{i+1,j-1} - W_{i+1,j+1} + W_{i-1,j-1} - W_{i-1,j+1}) + e_2W_{i+1,j} + e_3W_{i,j-1} + e_4W_{i,j+1} + e_5W_{i,j-1} + e_6W_{i,j+1} = 0 \quad \dots (14)$$

ここに $e_1 = -J_r m$, $J_r = G_b C_b / Dm\lambda$, $G_b C_b$ ：直線ばかりのねじり剛性, $e_2 = -Y_b (\lambda/Y_b + 2\nu)/K$, $e_3 = 2(J_r m - K/Y_b)$, $e_4 = 4K (K^2/Y_b^2 + \nu)/K$, $e_5 = -2(J_r m + K/Y_b)$, $e_6 = Y_b (\lambda/Y_b - 2\nu)/K$.

他の直線辺においても同様にして境界条件式が誘導される。その結果は(13),(14)式において、係数を格点 j に同じく左右入れ替えたものに等しい。

b) 内弧辺における境界条件式

扇形平板と内側曲りばかりとの結合部の微小要素に作用する力およびモーメントは図-4のようにならぬ。いま前項(a)と同様に曲りばかりの幅を無視できるほど小さいものとしてこの微小要素に作用する力およびモーメントの釣合を考えれば以下に示す3箇の釣合式を得る。

$$\theta\text{軸方向の力の釣合より}, \quad T_r + \bar{\theta} + dF/ds = 0 \quad \dots (15)$$

$$\theta\text{軸まわりのねじりモーメントの釣合より}, \quad dT/ds + M/R - M_r = 0 \quad \dots (16)$$

$$\text{曲りばかりの中立軸における曲げモーメントの釣合より}, \quad dM/ds - T/R - F = 0 \quad \dots (17)$$

$$(15) \text{から}(17) \text{を} F \text{を消去すると}, \quad V_r + \bar{\theta} + d^2M/ds^2 - 1/R \cdot dT/ds = 0 \quad \dots (18)$$

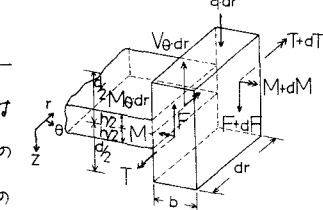


図-3

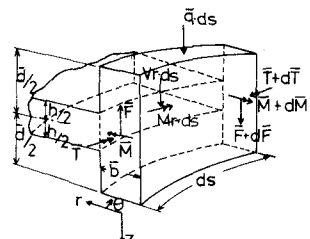


図-4

ここに、 V_r, M_r ； r 方向板反力および曲げモーメント(単位長あたり)， \bar{F} ；曲りばりに作用する単位長あたり垂直荷重， R ；曲りばりの半径， F, M, \bar{F} ；曲りばりのせん断力，曲げモーメントおよびねじりモーメント。

さらに曲りばりの断面力 F ， M と変形量との関係を考慮すれば、式(16)および式(18)は次式のように書き表わせる。

$$\frac{1}{R^2} \left(\frac{\bar{E}_b \bar{I}_b}{D} + \frac{\bar{G}_b \bar{C}_b}{D} \right) \frac{\partial^2 W}{\partial \theta^2} + \frac{1}{R} \frac{\bar{E}_b \bar{I}_b}{D} \frac{\partial^2 W}{\partial r^2} - \frac{1}{R} \frac{\bar{G}_b \bar{C}_b}{D} \frac{\partial^2 W}{\partial \theta^2} - R \left[\frac{\partial^3 W}{\partial r^2} + \nu \left(\frac{1}{R} \frac{\partial^2 W}{\partial r^2} + \frac{1}{R^2} \frac{\partial^2 W}{\partial \theta^2} \right) \right] = 0 \quad \dots (19)$$

$$\frac{1}{R^4} \frac{\bar{E}_b \bar{I}_b}{D} \frac{\partial^2 W}{\partial \theta^4} + \frac{1}{R^2} \left(\frac{\bar{E}_b \bar{I}_b}{D} + \frac{\bar{G}_b \bar{C}_b}{D} \right) \frac{\partial^3 W}{\partial r \partial \theta^2} - \frac{1}{R^2} \frac{\bar{G}_b \bar{C}_b}{D} \frac{\partial^3 W}{\partial \theta^2} + \left[\frac{\partial^3 W}{\partial r^2} - \frac{1}{R^2} \frac{\partial^2 W}{\partial r^2} + \frac{1}{R} \frac{\partial^3 W}{\partial r^2} - \frac{3-\nu}{R^2} \frac{\partial^2 W}{\partial \theta^2} + \frac{2-\nu}{R^2} \frac{\partial^3 W}{\partial r \partial \theta^2} \right] = \frac{\bar{F}}{D} \quad \dots (20)$$

ここに、 $\bar{E}_b \bar{I}_b, \bar{G}_b \bar{C}_b$ ：曲りばりの曲げ剛性およびねじり剛性。

式(19)および式(20)を差分化すれば、内側円弧辺上の境界条件式として次の2式を得る。

$$f_1(W_{i+1,j-1} + W_{i+1,j+1} - W_{i-1,j-1} - W_{i-1,j+1}) + f_2 W_{i+1,j} + f_3 (W_{i,j-1} + W_{i,j+1}) + f_4 W_{i-1,j} + f_5 W_{i-1,j} = 0 \quad \dots (21)$$

ここに、 $f_1 = -mJ_\theta/z\omega^2, J_\theta = \bar{G}_b \bar{C}_b / D m \lambda, f_2 = mH_\theta/2 + mJ_\theta/\omega^2 - R^2/\lambda^2 - \nu R/2\lambda, H_\theta = \bar{E}_b \bar{I}_b / D m \lambda, f_3 = m\lambda(H_\theta + J_\theta)/R\omega^2 - \nu/\omega^2, f_4 = -2m\lambda(H_\theta + J_\theta)/R\omega^2 + 2R^2/\lambda^2 + 2\nu/\omega^2, f_5 = -mH_\theta/2 - mJ_\theta/\omega^2 + \nu R/2\lambda - R^2/\lambda^2$ 。

$$g_1(W_{i+2,j} - W_{i-2,j}) + g_2(W_{i+1,j-1} + W_{i+1,j+1} - W_{i-1,j-1} - W_{i-1,j+1}) + g_3 W_{i+1,j} + g_4 (W_{i,j-2} + W_{i,j+2}) + g_5 (W_{i,j-1} + W_{i,j+1}) + g_6 W_{i,j} + g_7 W_{i-1,j} = \frac{\bar{F}\lambda^2}{D} \quad \dots (22)$$

$$\begin{aligned} \text{ここに: } g_1 &= Y_2, g_2 = mK^2(H_\theta + J_\theta)\lambda/R^3 + K^2(2-\nu)/2R^2, g_3 = -m(H_\theta + J_\theta)K^2\lambda/R^3 - 1 + \lambda/R - \lambda^2/2R^2 \\ &- (2-\nu)K^2/R^2, g_4 = mH_\theta K^4/R^4, g_5 = K^2(\nu-3)\lambda/R^3 - mK^2(4H_\theta K^2 + J_\theta \lambda^2)/R^4, g_6 = 2mK^2(3H_\theta K^2 + J_\theta \lambda^2)/R^4 \\ &- 2\lambda\{R^2 - (3-\nu)K^2\}/R^3, g_7 = m(H_\theta + J_\theta)K^2\lambda/R^3 + 1 + \lambda/R + \lambda^2/2R^2 + (2-\nu)K^2/R^2. \end{aligned}$$

他の内弧辺においても同様に境界条件式を誘導することができる。その結果についてこれは文献(5)に詳しく述べてある。

c) 隅角部における境界条件式

i) 固定の場合 簡易平板の隅角部4点が剛な柱に剛結される場合、板のたわみ角は半径・接線両方向ともに零となる。従って隅角部の格点(i, j)において $(\partial W / \partial r)_{i,j} = (\partial W / \partial \theta)_{i,j} = 0$ が成立せねばならぬから、これらを差分化して隅角部の境界条件式として次の2式を得る。

$$W_{i+1,j} - W_{i-1,j} = 0 \quad \dots (23), \quad W_{i,j+1} - W_{i,j-1} = 0 \quad \dots (24).$$

ii) 点支持の場合 隅角部4箇所が点支持されて、直角方向に交わる弹性梁のねじり剛性の影響を無視すれば隅角部の格点(i, j)において $M_{i+1,j} = M_{i-1,j} = 0$ が成立せねばならぬから、これらを差分化して隅角部の境界条件式として次の2式を得る。

$$W_{i-1,j} + W_{i+1,j} = 0 \quad \dots (25), \quad W_{i,j+1} + W_{i,j-1} + R_i W / K \cdot W_{i+1,j} = 0 \quad \dots (26)$$

以上において求めた境界条件式と対応する格点においてて、これらの式と、隅角部を除くすべての格点においてて式(6)を満足させて解けば所要のたわみ $W_{i,j}$ が求まり、得られた結果を断面力の差分式に代入することにより、断面力を容易に求めることができます。

(3) 刚比

図-1に示すよる扇形平板の直線回長を $\lambda(l=m\lambda)$ 、弹性支持ばりの幅を $b(\bar{b})$ 、高さを $d(\bar{d})$ とするとき、 $\alpha = l/h$, $\beta = d/b$, $\bar{\beta} = \bar{d}/\bar{b}$, $\gamma = b/h$, $\bar{\gamma} = \bar{b}/h$ なる変数を導入すれば、直線ばり、曲りばりの曲げ剛性およびねじり剛性と板剛度との比、するわち、 H_r , H_θ , J_r および J_θ は次のようにならうとする。

$$H_r = \frac{E_b I_b}{D m \lambda} = (1-\nu^2) \frac{E_b \beta^3}{E_p \alpha} \gamma^4 \quad \dots (27), \quad H_\theta = \frac{\bar{E}_b \bar{I}_b}{D m \lambda} = (1-\nu^2) \frac{\bar{E}_b \bar{\beta}^3}{\bar{E}_p \bar{\alpha}} \bar{\gamma}^4 \quad \dots (28)$$

$$J_r = \frac{G_b C_b}{D m \lambda} = \frac{3(1-\nu)}{8 \times E_p} E_b \gamma^4 \beta \left[\frac{16}{3} - 3.36 \frac{1}{\beta} (1 - \frac{1}{12 \beta^4}) \right] \quad (\beta \geq 1) \quad \dots (29)$$

$$J_\theta = \frac{G_b C_b}{D m \lambda} = \frac{3(1-\nu)}{8 \times E_p} \bar{E}_b \bar{\gamma}^4 \bar{\beta} \left[\frac{16}{3} - 3.36 \frac{1}{\bar{\beta}} (1 - \frac{1}{12 \bar{\beta}^4}) \right] \quad (\bar{\beta} \geq 1) \quad \dots (30)$$

ここに C_b , \bar{C}_b はR.J.Roarkの近似式⁽¹⁶⁾による。

したがって α , $\beta(\bar{\beta})$, $\gamma(\bar{\gamma})$ を決定すればそのときの剛比は上式によって一義的に定められることになり、これらを種々変化させて数值計算を行なえば、扇形平板と弹性支持ばりとの力学的相互作用が解明できることになる。

3. 数値計算例

差分法による解は分割数を増すことによって厳密解に近づくことは周知の通りであるが、文献(7)に示されているように8分割程度で工学上十分な精度の解が得られるところから、以下に述べる数値計算例はすべて接線・半径両方向ともに8分割で計算をあこぐれることにする。

いま図-1に示すよる扇形平板において中央角 $\theta_0 = \pi/3$ 、辺長比(中央円弧長と直線延長との比) $\zeta = 1.0$ 、アッソン比 $\nu = 0.3$ で等分布荷重が満載寸まであるものとする。このとき $\alpha = 40$, $\beta = \bar{\beta} = 2.0$ 、隅角部4点が点支持されてる場合(Ex. 1)および固定の場合(Ex. 2)について、 $\gamma (= \bar{\gamma})$ の種々の値に対する板中央点の W , M_r および M_θ を計算すれば、図-5, 6に示すとおりである。 γ の値が増加するにつれて、板中央点のたわみ・曲げモーメントは減少しており、両ケースともこれら2つの値は $0.5 \leq \gamma \leq 3.0$ の区间で変化し、それより越える範囲の γ に対しては、ほぼ一定値に収束するところから、 $\gamma > 3$ では全周固定とみなしてさしつかえないと言いうる。さらに隅角部の支持条件の相違がためめ、曲げモーメントに及ぼす影響を明確にする為、Ex. 1 および Ex. 2 の諸量を対比するとともに、Ex. 1 の諸量を1として場合のEx. 2 の諸量をTable-1に示した。これによれば隅角部の支持条件の及ぼす影響は W にあり最も顕著であり、 M_r はおもて一番小さいこと、および γ の変化とともに W は $\gamma = 1.5$, M_θ は $\gamma = 1$ 附近で γ の比率が最も大きいところ M_r は $\gamma = 0.2$ での比率が大きいことがわかる。

次に隅角部4点固定の板(=Ex. 2)について、図-6に示した諸量を示すとて、弹性支持

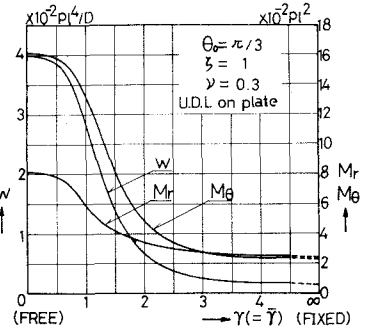


図-5 (Ex. 1)

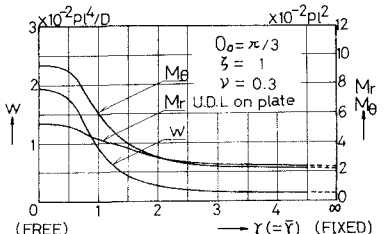


図-6 (Ex. 2)

ぱりのねじり剛性を無視した場合($J_r = J_b = 0$)の解析結果の比率を計算すれば図-7のようになる。図からはりのねじり剛性を無視すれば、せん断考慮したときより明らかに大きくなるため、曲げモーメントが生じその比率の最大値はたわみで約1.65にも達していることがわかる。したがってはりの曲げ剛性のみを考慮、するめか垂直力のみが伝達されるものとして解析することは不合理であり、この複合構造の力学的相互作用を把握するには、前章2の解法で示したようにはりのねじり剛性を考慮に入れて解析が必要であることがわかる。

また、中央円弧長を一定に

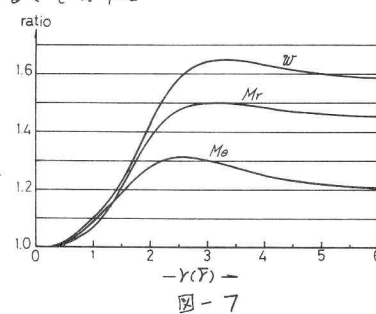


図-7

Table 1 Deflections and Bending Moments at the Center of the Plate
($H_r = H_b = H$, $J_r = J_b = J$)

	$\gamma = \bar{\gamma} = 0$ ($H = J = 0$)	$\gamma = \bar{\gamma} = 1$ ($H = 0.1820$ $J = 0.0481$)	$\gamma = \bar{\gamma} = 1.5$ ($H = 0.9214$ $J = 0.2433$)	$\gamma = \bar{\gamma} = 2$ ($H = 2.912$ $J = 0.769$)	$\gamma = \bar{\gamma} = 3$ ($H = 14.74$ $J = 3.893$)	$\gamma = \bar{\gamma} = \infty$ ($H = J = \infty$)
w	1 3.975 1	2.826 1	1.389 1	0.6508 1	0.2488 1	0.1356 1
	2 1.932 0.486	0.938 0.332	0.4479 0.322	0.2704 0.415	0.1686 0.678	0.1356 1.000
M_r	1 8.033 1	5.823 1	4.099 1	3.408 1	2.690 1	2.346 1
	2 5.362 0.667	4.337 0.745	3.637 0.887	3.061 0.898	2.545 0.946	2.346 1.000
M_b	1 16.05 1	13.16 1	8.180 1	4.786 1	2.769 1	2.211 1
	2 9.362 0.583	6.106 0.464	4.011 0.490	3.067 0.641	2.437 0.880	2.211 1.000

$$(w: \times 10^{-2} p l^4 / D)$$

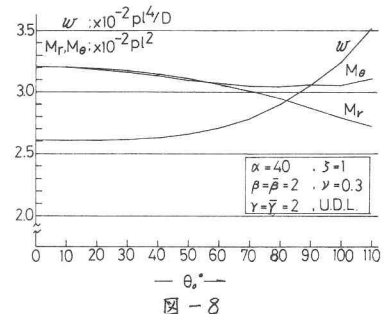


図-8

して中心角を変化させたときの板中央点のたわみ・断面力の変化を示せば図-8のとおりである。この図は、中心角の増加に伴なつてたわみは増大し、曲げモーメントは中心角100°あたりまでは、単調に減少すること、および M_r の減少率が M_b よりも大きいことなどを認められる。

4. 模型実験

本実験で採用した模型の断面寸法は、表-2に示すとおりであり、この模型の隅角部4点を固定し集中荷重を載荷して静的な曲げ実験を行なった。(写真1参照) 載荷点には図-9に示すごくA, B 2点を選び測定点1~5のX方向及びY方向ひずみを測定した。模型の材料としては製作が比較的容易であり、ひずみ係数 α たわみが小さな荷重で十分生じるプラスチックを採用したが、プラスチック板では載荷時間が長くなるとクリープが生じる為、載荷時間の短縮に努めねばならず、そのため各測定点についてそれと載荷と測定とを繰り返し、1度の影響がはらめよう留意した。

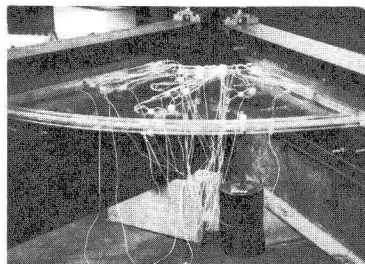


写真 1

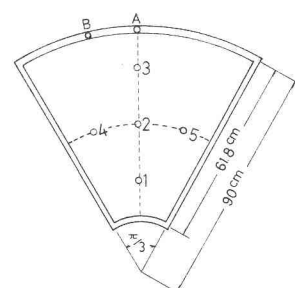


図-9

表-2

	中心角 θ_0	板厚 h	半径方向 スパン l	中央円弧長	はり幅 $b = \bar{b}$	はり高 $d = \bar{d}$	板材の E_p	はり材の E_b	板材の ポアソン比
モデル1	$\pi/3$	0.8 cm	61.8 cm	61.8 cm	1.0 cm	2.0 cm	3.07×10^4 kg/cm ²	3.07×10^4 kg/cm ²	0.35
モデル2	$\pi/3$	0.8 cm	61.8 cm	61.8 cm	2.0 cm	2.0 cm	3.07×10^4 kg/cm ²	3.07×10^4 kg/cm ²	0.35

またプラスチックは温度の影響をうけ易いため、実験時に試験片によりそのヤング率を測定した(表-2)。実験に使用した二方向ひずみゲージの性能は表-3に示すところである。

いまモデル1, 2の載荷点に集中荷重10.2kgを載荷したときの板の各測点のr方向およびθ方向ひずみを測定した結果を図示すれば図10~17を得る。

図中実線は差分法による計算値、○印は実験値を示す。

図に示されるごとく両者の値はほぼ一致しており、前述の理論および電算結果の妥当性が示されたといえる。

表-3

GAGE LENGTH	5 (mm)
RESISTANCE	$119.9 \pm 0.4 (\Omega)$
GAGE FACTOR	2.12

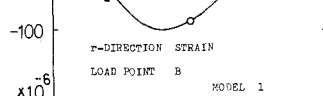
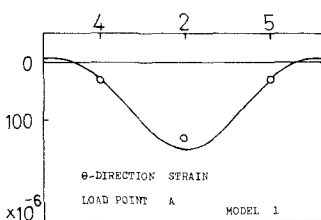
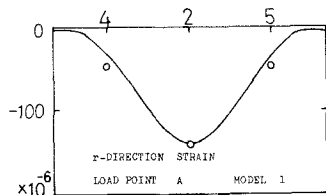
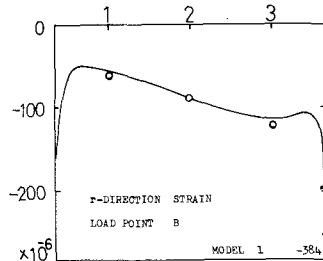
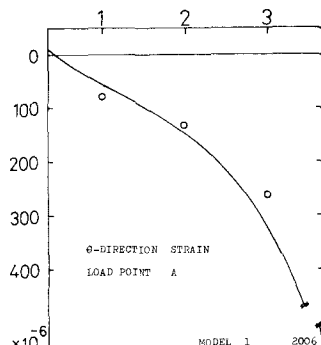
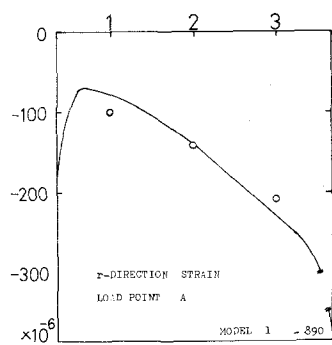


図-12

図-10

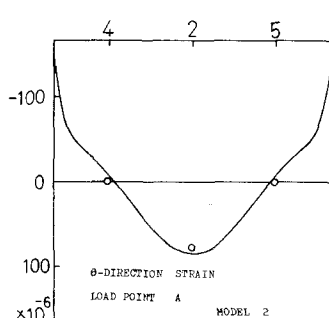
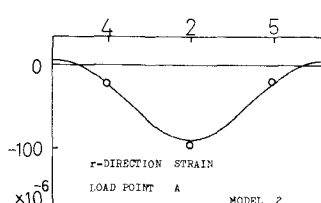
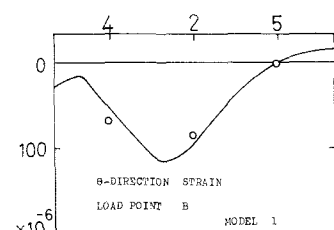
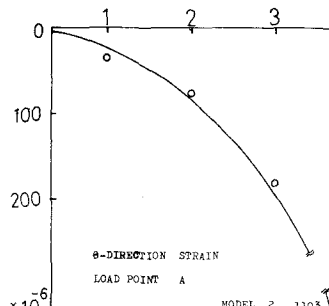
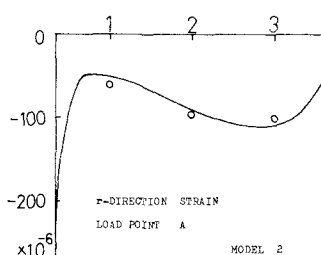
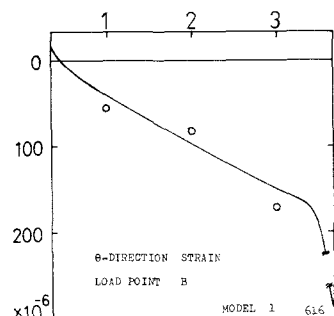


図-13

図-14

図-15

5. むすび

本論文は周辺が曲りばかりおよぶ直線ばかりで弾性支持される扇形平板の差分法による解析法を提示し、その理論に基づいてあこなった数値計算により、この複合構造物の力学的特性を把握し、設計に資せんとするものであるが、本論で示された計算例により次の諸点が明らかとなる。

1) 隅角部の支持条件の相違が

板のたわみ、曲げモーメントにおよぼす影響は顕著である。(表-1)
本計算例では隅角部の支持条件として固定、点支持の両極端を想定して数値計算をおこなっているが、実際の構造物では隅角部において柱と剛結されることも考えられ、その柱の剛性が比較的小さい場合には、柱の剛性をノンラメータに入力した立体解析をおこなう事も有用であると思われる。⁽⁸⁾

2) 弹性支持ばかりの剛性の変化が板におよぼす影響も顕著である。図-5, 6から、剛比の比較的小さな範囲でたわみ、曲げモーメントの値が逆変し、剛比がある値以上になるとその境界を固定とみなしてさしつかえなしことがわかる。

3) 弹性支持ばかりの曲げ剛性だけを考慮して解析しても十分に板とはりとの力学的相互作用を把握することができない。(図-7) したがって、本論におけるべたごとく、この複合構造物の解析にあたっては、弾性支持ばかりの曲げおよびねじり剛性とともに考慮することが必要である。

4) 板の中心角の変化は、たわみ、半径方向曲げモーメントには顕著な影響を及ぼすが、接線方向モーメントに対するものは影響を及ぼさない。(図-8)

なお、本論文では、隅角部4点を支持された扇形平板についての討論したが、本解法は、これで基本構として支持ばかりが連続ばかりとなる場合およびはりが板の中間にあら連続扇形平板の場合にも容易に適用でき、それらにつけては著者の一人が別に発表している。^{(7), (9)}

参考文献

- (1) Fuks, S.J.; Plates with Boundary Conditions of Elastic Support, Trans. ASCE, Vol. 119, 1954.
- (2) Wood, R.H.; Studies in Composite Action, Part II, National Building Studies, Research Paper No. 22, HMSO, 1955
- (3) Allen, D.N. de G. and Severn, R.T.; Composite Action of Beams and Slabs under Transverse Loading - Part IV, The Structural Engineer, Vol. 42, No. 12, December 1964.
- (4) Khan, M.A. and Kemp, K.O.; Elastic full composite action in a slab and frame system, The Structural Engineer, Vol. 48, No. 9, Sep., 1970.
- (5) 大塚久哲; 全周辺弾性支持扇形平板の解析に関する研究, 東大修士論文, 昭和48年3月.
- (6) Roark, R.J.; Formulas for Stress and Strain, McGraw-Hill Book Co., 1954
- (7) 金子浩男, 大塚久哲; 直線ばかり弾性支持された扇形平板の解法, 大工学集報, 第45巻第1号, 昭和47年1月.
- (8) Khan, M.A.; Elastic full composite action in a slab and frame system, The Structural Engineer, Vol. 49, No. 6, June 1971.
- (9) 大塚久哲, 金子浩男; 一方向連続扇形平板の解法, 工学会第27回年次学术講演会講演概要集, 昭和47年10月.
- (10) 大塚久哲, 金子浩男; 全周辺弾性支持された扇形平板の解法, 大工学集報, 第45巻第6号, 昭和47年12月.

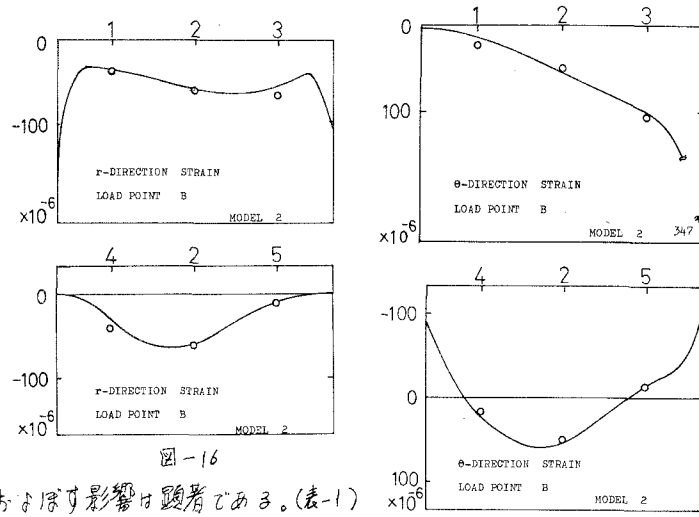


図-16

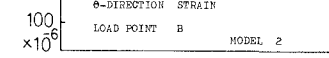


図-17